

アスファルトのコンシスティンサーが舗装の寿命に及ぼす影響についての一考察

大阪市立大学工学部 正員 ○山田 優・三類貞

I. まえがき 大きい輪荷重への対応、わだち塗れの防止などのためのアスファルトの改質、さらには、廃材の再生利用などにより、近年、コンシスティンサーの異なりアスファルトを舗装に用いることが多い。特に、従来より硬いアスファルトの使用が増えた傾向にあるが、たわみ性の良さと逆効果も心配されてしまう。目的 アスファルトのコンシスティンサーが舗装の疲労寿命にどのように関係するかを、いくつかの舗装断面について調べてみた。

II. 疲労寿命の算出法 Henkelomらは、通常の舗装用アスファルトを使用していける範囲では、混合物の強度や伸びは破壊時のアスファルトのスチフテスから決定されるとしている。¹⁾ Claessenらは、このことを基礎にして、アスファルト舗装の疲労寿命を予測する方法をShell Design Methodの中で提案している。²⁾ 本研究では、この方法を使い、疲労寿命を算出した。³⁾

3. 舗装の断面寸法と材料、温度条件 表-1に示す舗装構造について疲労寿命を算出した。すべての構造は我が国の要綱に定められた交通の目標TAを満たす。(A)～(D)は設計CBRが、また(E)(F)は混合物厚 h_1 が同じである。路床の弾性係数 E_3 は $E_3 = 10^7 \times CBR N/m^2$ から求めた。アスファルト混合物は我が国で通常用いられる S_{mix} を基準値とした。混合物のスチフテス S_{mix} は、Bonnaureらのモグラフ⁴⁾と要綱の基準値から求めた。疲労特性は、種々の混合物の疲労試験結果⁵⁾から導いた式、 $\Sigma_f = (0.856 \times T_b + 1.04) S_{mix}^{-0.36} \times n_f^{-0.2}$ …式(1)、が適用できることを確認し、要綱の基準値から求まるアスファルト容積率 $T_b = 15.5\%$ を代入して用いた。アスファルトのコンシスティンサーは、針入度指数PIと軟化点 T_{RAB} を表し、 $PI = -3 \sim +3$ 、 $T_{RAB} = 40 \sim 100$ の範囲で変化させた。それに対応するアスファルトのスチフテス S_{bit} は、Van der Poelのモグラフ⁶⁾から求めた。載荷時間 t は 0.02 sec とした。混合物の温度 T_{mix} は 30°C とした。これは、Shell Methodで求められる京阪神地域の加重平均年気温W-WAAT = 20°C に対応する $h_1 = 100 \text{ mm}$ における有効混合物温度 T_{eff} に等しい。(札幌では $T_{eff} = 19.4^\circ\text{C}$ 、那覇では $T_{eff} = 35.5^\circ\text{C}$ と計算される。)

4. 疲労寿命 N_f とアスファルト混合物のスチフテス S_{mix} の関係 表-1の6つの舗装構造について、 N_f と S_{mix} の関係を求めると、図-1、図-2のようにすべて下に凸な曲線となる。ひずみ制御の曲げ疲労試験による混合物の破壊回数 n_f は、上記式(1)に従えば、 Σ_f および S_{mix} が大きくなるほど小さくなるが、実際の舗装では、 Σ_f

表-1 疲労寿命の算出に用いた舗装構造

舗装構造	(A)	(B)	(C)	(D)	(E)	(F)
アスファルト混合物厚 h_1 (mm)	50	100	150	200	100	100
上層舗装厚 (修正CBR > 80 mm)	350	300	200	150	200	150
下層舗装厚 (修正CBR > 30 mm)	500	350	300	250	300	150
路盤合計厚 h_2 (mm)	850	650	500	400	500	300
TA (cm)	29.8	29.3	29.5	31.5	24.5	19.0
路床の設計CBR	2	2	2	2	4	2
路床の弾性係数 E_3 (N/m^2)	2.5×10^7	2.5×10^7	2.5×10^7	2.5×10^7	5×10^7	1×10^8

Masaru YAMADA, Tadashi MISE

となることが多くなる。また、図-2が示すように、混合物厚さが大きいほど N_f が極小となる S_{mix} が小さくなる。すなはち、 h_1 の小さい場合には、 S_{mix} が大きくなると疲労破壊の危険が増す。しかし、 h_1 が大きい場合には、 S_{mix} が大きいことがむしろプラスとなる。

5. 疲労寿命 N_f とアスファルトの射入度指数PIおよび軟化点 T_{RAB} の関係 鋼装構造(B)の場合について、PIと T_{RAB} と N_f の関係を求めると図-3のようになる。 PI と T_{RAB} が図中の破線で示される関係にあるとき、 N_f は極小となる。ここには示さないが、この破線の位置は、 E_3 が大きいほど、 h_1 が小さいほど、さら K 、 T_{mix} が大きい(高気温)ほど、右側(軟化点大)の方へ移動する。図-3中に示す○印は加熱混合と放置により変質した混合物から回収したアスファルトの試験結果である。○印は原アスファルトの試験値であり、→印の方向に変化したことを示している。アスファルトのこのような変化に伴う舗装の N_f の変化は、図-3の場合には増加する方向にある。しかし、これは構造により異なる。図-4に、6つの構造につれて、このアスファルトの変質に伴う疲労寿命の変化を示した。

6. もとより 以上の考察で、アスファルトのコンステンシーが舗装の疲労寿命に及ぼす影響はその舗装の構造条件や気温により大きく異なる。

とがわかった。ただし、舗装の寿命は、混合物の疲労破壊だけではなく、沈下や流動なども加えて検討せねばならない。また、アスファルトの疲労特性がスチフネスで決定されると仮定したが、特殊な原油の場合や添加物を加入了の場合などは疲労試験をして検討し直さねばならない。

参考文献

- 1) W. Heukelom : AAPT, pp359-379, 1966.
- 2) A.I.M. Claessen : 入度 4th I.C. S.D. A.P. pp37-74, 1977.
- 3) Shell Inter. Petroleum Com. Lim. ; Shell pavement design manual, 1978.
- 4) F. Bonneure : AAPT, pp64-104, 1979.
- 5) W. Van Dijk : AAPT, pp1-40, 1977.
- 6) W. Heukelom : AAPT, pp69-98, 1973.

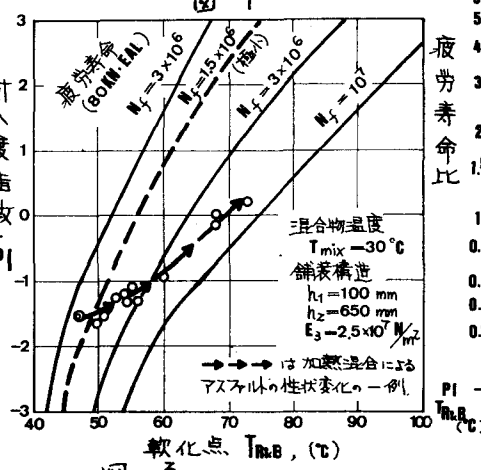


図-1

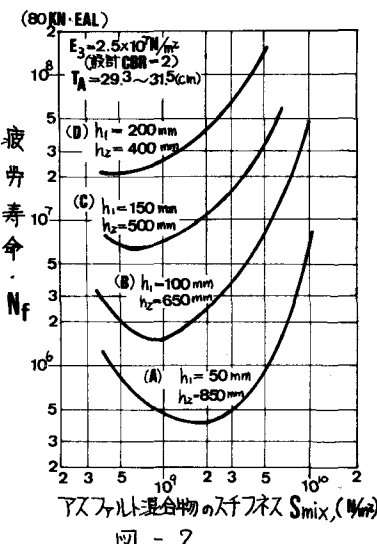


図-2

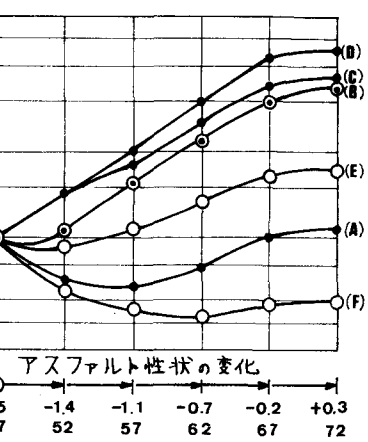


図-3